

京都大学防災研究所

正会員 土屋 義人

建設省近畿地方河川計画課

正会員 青山 俊樹

1. 緒言 掃流砂れきは一般に saltation といわれる特徴的な運動をくり返して流下していくが、この場合任意の 1 つの砂れきの運動を注意深くみると、床面との接触を保ちながら saltation をくり返していくものが多いことがわかる。この場合、saltation の定義には種々あるが、ここでは広義に考えて sliding または rolling もこの運動の中に入るものとしておこう。このように saltation の継続運動をする場合には successive saltation とよぶことにし、その力学的過程について簡単な考察を進めていきたいと思う。ただし、多くの砂れきが運動する場合に対する、直接その考察を進めるのが困難であるので、単一砂れきの運動に限定してその理論的考察を行なう。最後に、この結果を掃流砂れきの場合に、そのまま適用した結果についても述べる。

2. 砂れきの跳躍構造 砂れきの跳躍に対する運動方程式は、水平および鉛直方向のそれとおいてあらわされると仮定すれば、

$$dU/dt = (3/4) C_{D_1} (U - U)^2 / (\sigma/\rho + 1/2) d, \quad dW/dt = \mp (3/4) C_{D_2} W^2 / (\sigma/\rho + 1/2) d - (6/\rho - 1) g / (\sigma/\rho + 1/2) \quad (1)$$

ここで、 U および W : 砂れきの速度のうちの水平および鉛直成分、 C_{D_1} および C_{D_2} : それらに適応する抗力係数、 d : 砂れきの大きさ、 σ/ρ : 砂れきの比重、 g : 重力の加速度、 t : よび τ : 時間、である。無次元量 $\bar{W} = W/U^*$, $\bar{U} = U/U^*$, $K^2 = (4/3)\{(6/\rho - 1)gd/U^{*2}\}(1/C_{D_1})$, $Z_1 = (3/4)\{C_{D_1}(\sigma/\rho + 1/2)(U^*t/d)\}$, $Z_2 = (3/4)\{C_{D_2}(\sigma/\rho + 1/2)\}(U^*t/d)$ を用いれば、

$$\bar{U}_1 = 0 \quad \bar{W} = \bar{W}_0 \text{ と } \text{ ときの跳躍高さ } H \text{ は}, \quad \bar{H} = H/d \text{ と } \text{ とき},$$

$$\bar{H} = (2/3)\{(\sigma/\rho + 1/2)/C_{D_2}\} \log \left\{ 1 + (\bar{W}_0/K)^2 \right\} \div (2/3)\{(\sigma/\rho + 1/2)/C_{D_1}\} (\bar{W}_0/K)^2 \quad (2)$$

砂れきが落下するときの床面直前の速度 \bar{W}_1 は、 $C_{D_1} \approx C_{D_2}$ のとき

$$\bar{W}_1 = -K(\bar{W}_0/K) / \{ 1 + (\bar{W}_0/K)^2 \} \div \bar{W}_0 \quad (3)$$

$$\text{同様に水平方向に射出する } \bar{U}_1 = \bar{U} - (\bar{U} - \bar{U}_0) / \{ 1 + 2(\bar{U} - \bar{U}_0)\bar{W}_0/K^2 \} \quad (4)$$

であり、跳躍距離 L は $L = L/d$ とし、つきのように近似される。

$$\bar{L}_1 = (4/3)\{(\sigma/\rho + 1/2)/C_{D_2}\} \{ 2\bar{U}_1 \bar{W}_0 / K^2 - \log \{ 2(\bar{U}_1 - \bar{U}_0)\bar{W}_0 / K^2 + 1 \} \} \quad (5)$$

3. 砂れきの反発構造 図-2 のように、砂れきの衝突による反発

における速度の変化

を考えることにすれば、反発係数を e として、次式が成立すると仮定する。 $-eV_1 \cos(\theta - \alpha) = V_2 \cos(\pi - \beta - \gamma)$, $V_1 \sin(\theta - \alpha) = V_2 \sin(\pi - \beta - \gamma) \quad (6)$

これから、 \bar{W}_0 および \bar{U}_0 と \bar{U}_1 との関係を求めると、

$$\bar{W}_0 = \{ [(1+e)(S_1 S_2 - 1) + \sqrt{(1+e)^2(1-S_1 S_2)^2 - 4e(1+S_1^2)(1+S_2^2)}] / 2(1+S_1^2) \} \bar{W}_1$$

$$= P_0 \bar{W}_1 \quad (P_0 < 0), \quad \bar{W}_0 = e(S_1/S_2) \bar{W}_1 \quad (7)$$

ここに、 $\bar{U}_1 = S_1 \bar{W}_1$, $\bar{U}_0 = S_2 \bar{W}_0$ および $S_1 = (1+e) \tan \gamma$, $S_2 = (1-e \tan^2 \gamma)$, $S_3 = (\tan^2 \gamma - e)$ を用いれば、つきの関係がえられる。

$$\bar{U}_0 = e \bar{U}_1, \quad \bar{W}_0 = e \{ S_1 \bar{U}_1 + S_2 \bar{W}_1 \} / \{ S_3 + S_1 (\bar{W}_1 / \bar{U}_1) \} \quad (8)$$

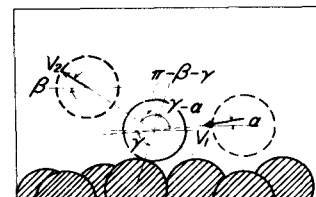
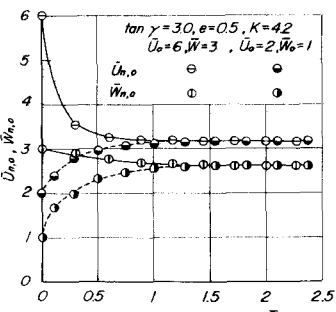


図-2 砂れきの反発構造

4. 砂れきの successive saltation の構造

図-1は2.および3.で述べに関係を用いて、図中に示した条件のもとに、跳躍のくり返しを計算して、砂れきの速度の変化を示した一例である。この結果において、砂れきのまる印は saltation の固数に対応するが、これから初期条件をとらず 4~5 回の saltation によって各回の初速度が一定値にならざるとわかる。このような saltation & stationary saltation といふことにする。いま、 k 回目の saltation について、この stationary saltation に達したとすれば、以下の関係が成立する

$$\bar{U}_{0,k} = P' \bar{u}, \quad \bar{W}_{0,k} = Q' \bar{u}, \quad \bar{U}_{0,k+1} = \bar{U}_{0,k}, \quad \bar{W}_{0,k+1} = \bar{W}_{0,k} \quad \dots \quad (9)$$

ここで、これらは関係式(3),(4)および式(8)式を代入して、 $\bar{U}_{0,k}$, $\bar{W}_{0,k}$ および \bar{u} , $\bar{U}_{0,k+1}$, $\bar{W}_{0,k+1}$, と \bar{u} , $P' \bar{u} K$, $Q' \bar{u} K$, e , b_1 , b_2 および b_3 などの関数としてあらわすことができるから、これらを諸式から P' , Q' , e および $\bar{u} \tan \delta$ の関係を求めると次式が得られる。

$$P' = e[(1-(1-P))/(1+2(1-P)Q'(\bar{u}/K)^2)], \quad Q' = e[(b_1/e)P' - b_2 Q'] / \{b_3 - b_2 e(Q'/P')\} \quad \dots \quad (10)$$

これから、一般に $Q' \leq P'$ であることに注意して P' および Q' について解く、若干变形すれば、

$$P' = \{((1+e) - \sqrt{(1+e)^2 + 2(1-e)/\{\lambda(\bar{u}/K)^2\}}\}/2, \quad Q' = \lambda P' \quad \dots \quad (11)$$

ここで、これらを(9)式に代入すれば、stationary velocity \bar{U}_s および \bar{W}_s は、近似的に

$$\bar{U}_s = \{((1+e) - \sqrt{(1+e)^2 + 2(1-e)/\{\lambda(\bar{u}/K)^2\}}\}/2, \quad \bar{W}_s = \lambda \{((1+e) - \sqrt{(1+e)^2 + 2(1-e)/\{\lambda(\bar{u}/K)^2\}}\}/2 \quad \dots \quad (12)$$

この結果から、stationary saltation をとる条件がわからぬ。

たとえば、 $\bar{U}_s = \bar{W}_s = 0$ をとるための条件として、

$$u^{*2}/(g/p - 1)gd = (2/3)(1/C_{D_1})\{((1+e)/e)\lambda \bar{u}^2\} \quad \dots \quad (13)$$

がえらばるが、これは通常の限界揚流力とは当然相違する。

5. Stationary saltation における跳躍特性

ここでは、前述したように $\bar{W}_0/K \ll 1$ として近似した場合について

このみ述べるが、さらに一般的な場合に対するものも可能である。図-4 入の揚流力による変化(5)式に上へ簡単のために $(\bar{u} - \bar{U}_s) \bar{W}_0/K^2 \ll 1$ とした式と(3)式に(12)式を代入すれば、砂れきの跳躍高さおよび跳躍の平均値 \bar{H}_m および \bar{L}_m は、それと(13)式のようにあらわされる。

$$\bar{H}_m = (1/6) \{(\delta/p + 1/2)/C_{D_1}\} \lambda^2 ((1+e) - \sqrt{(1+e)^2 + 2(1-e)/\{\lambda(\bar{u}/K)^2\}})^2 (\bar{u}/K)^2 \quad \dots \quad (14)$$

$$\bar{L}_m = (2/3) \{(\delta/p + 1/2)/C_{D_2}\} \lambda ((1+e) - \sqrt{(1+e)^2 + 2(1-e)/\{\lambda(\bar{u}/K)^2\}})^2 (\bar{u}/K)^2 \quad \dots \quad (15)$$

ここで、これから 入 $\equiv 4(C_{D_1}/C_{D_2})(\bar{H}_m/\bar{L}_m)$ $\dots \quad (16)$

図-3は単一砂れきが移動を開始(2+1), 第4, 5および6回目の跳躍が図-1に示した結果から推定して、ほとんどの stationary saltation にとどまると考えて、(14)および(15)式と実験結果とを比較したものである。実験値はかなりばらついているが、よく一致するといつてよいであろう。図-4は同様に実験値と(16)式とを比較したものであるが、これから入の値は揚流力に関係なく $\lambda = 0.4$ 程度であることがわかる。(16)式の結果と一致する。また λ の値は実験結果から 0.89 と求められた。

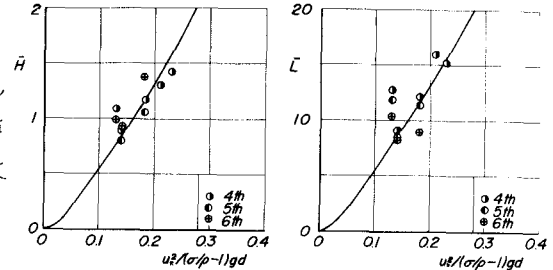


図-3 Stationary saltationにおける砂れきの saltation についての関係式による計算結果

跳躍高さおよび距離の揚流力による変化

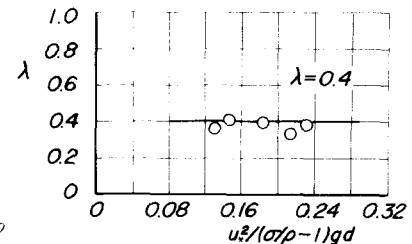


図-4 入の揚流力による変化

つぎに, stationary saltation における跳躍高さ \bar{U} より距離の分布特性について考える。前述した stationary velocity は一般に砂れき間の衝突や速度の変動あるいは衝突時の角度の分布などによつて、あらわらしきを示す。いまこの速度の確率密度函数が次式であらわらしきとする。

$$f_1(\bar{U}) = (1/\sqrt{2\pi})(1/\sigma_{\bar{U}}) \exp\{-(\bar{U} - \bar{U}_s)^2/2\sigma_{\bar{U}}^2\}, \quad (17)$$

$$\sigma_{\bar{U}} = \epsilon \bar{U}_s \quad \dots$$

$$\text{さらに, 一般に } \bar{W} = \lambda \bar{U} \quad \dots \quad (18)$$

であるとすれば、(17) 式に対応して

$$f_2(\bar{W}) = (1/\sqrt{2\pi})(1/\epsilon \bar{W}_s) \exp\{-(\bar{W} - \bar{W}_s)^2/2(\epsilon \bar{W}_s)^2\} \quad \dots \quad (19)$$

がえられる。したがつて、跳躍高さの

確率密度函数を $f_3(\bar{H})$ とすれば、一般に

$$f_3(\bar{H}) d\bar{H} = f_2(\bar{W}) d\bar{W} \quad \dots \quad (20)$$

であるから、(2)式を用いて(19)式を代入すれば、

$$f(\bar{H}) = (1/2\sqrt{2\pi})(1/\epsilon \bar{H} \bar{H}_m) \exp\{-(\bar{H} - \bar{H}_m)^2/2\epsilon^2 \bar{H}_m\} \quad \dots \quad (21)$$

同様にして、跳躍距離に対しては前述した関係から近似的に、

$$\bar{L} \approx (8/3)\{\sigma_{\bar{H}}/(\epsilon \bar{H}_m) + 1/2\}/C_{D_s}\} \lambda (\bar{U}/\bar{L})^2 \quad \dots \quad (22)$$

であることを考慮すれば、その密度函数 $f_4(\bar{L})$ は、

$$f(\bar{L}) = (1/2\sqrt{2\pi})(1/\epsilon \bar{L} \bar{L}_m) \exp\{-(\bar{L} - \bar{L}_m)^2/2\epsilon^2 \bar{L}_m\} \quad \dots \quad (23)$$

図-5 は(21)および(23)式と前述した stationary saltation に対する実験値とを比較したものであるが、この場合便宜上それぞれの平均値に対しては実験値を用いた。これから、これら両式の分布特性は、stationary saltation に対してよく一致するといふわかる。ただし、この場合 ϵ の値は実験値にあらず $\epsilon = 0.2$ と定められた。しかし、(21) および(23)式から求められた $\sigma_{\bar{H}}/\bar{H}_m$ より $\sigma_{\bar{L}}/\bar{L}_m$ の値と実験値の差れを比較すると、図-6 のようになつて両者は大体一致して、それは掃流力に關係ないことがわかる。

6. 掃流砂れきの saltation への適用 掃流砂れきの運動には、静止状態を含めて 2 つの基本的状態が存在するものと考えることができるが、こ

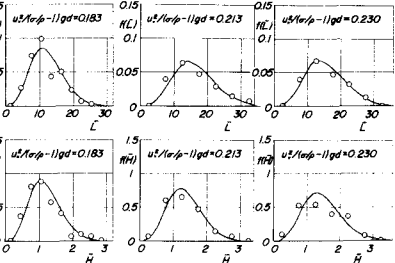


図-5 跳躍高さ \bar{H} より距離の分布特性

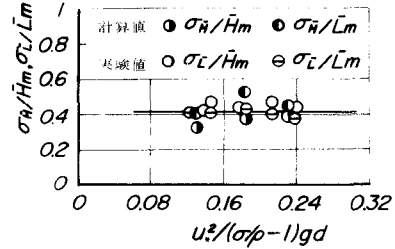


図-6 単一砂れきの場合の $\sigma_{\bar{H}}/\bar{H}_m$ より $\sigma_{\bar{L}}/\bar{L}_m$ の値

こでは砂れきが床面との反発現象をくり返していき場合のみを対象として、前述した单一砂れきの運動とくに successive saltation の理論をそのまま適用して現象の説明を試みたい。まず、図-7 は砂れきの跳躍高さ \bar{H} と距離の掃流力による変化を示したものであり、図中直線 A は first saltation に対する土屋らの理論によるものである。これは静止状態から運動を開始した砂れきが床面砂れきと衝突した第 1 回目の跳躍であり、また曲線 B は(14)および(15)式であらわされる stationary saltation の関係を示す。この場合、入の値は図-8 に示すように、单一砂れきの場合と同様に掃流砂れきの場合でも 0.4 程度の値であることがわかる。以上の値をそのまま用いることにし、さらに反発に関する実験結果から求められた $\epsilon = 0.55$ を用いた。

ここに示した実験値は、静止からの跳躍と反巻による再跳躍の場合に限り、それらの平均値を示したもの。これから、さることながら、実験値のほとんどはこれら A および B の理論曲線の間に図示され、とくに掃流力の小さい場合には first saltation の曲線に近く、大きい場合にはいずれの理論にも近似されると、さらに掃流力が大きくなるに場合の結果がないので明確なことはわからない。いいかえると、first saltation に近い運動をしている砂れきと stationary saltation に近いものとの配分が存在し、これが掃流砂れきの saltation の本質であるといふべきであろう。

これまでの実験結果から判断すると、後者の運動であらわされるものは約 40% 程度であろう。つぎに、図-9 および 10 はそれらの掃流砂れきの跳躍高さと距離の分布特性を示したものである。ただし、理論曲線においては、 $\epsilon = 0.2$ とし、平均値に対しては実験値を用いたのは図-5 とおなじである。

また、 $u^2/(10\rho - 1)gd = 0.060$ の場合、I は跳躍に移行する運動形式をとらずすべりあり、また II は反巻によるもののみをとりあげて結果である。

図-5 に示したものと比較して、その適合性はあまりよくないが、これは運動形式が反巻のみに限定されないと

いりとりの値によるものと考えられ

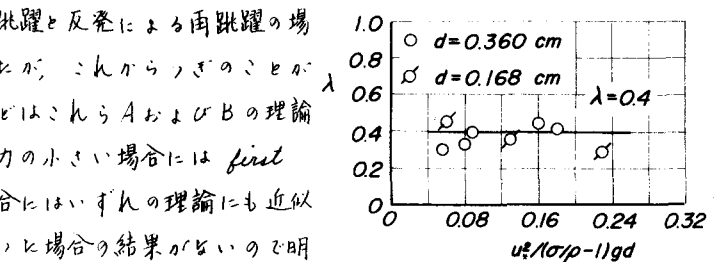


図-8 掃流砂れきに与じる入の値

図-9 が掃流砂れきの saltation の運動を示すものとの配分が存在し、これが掃流砂れきの saltation の本質であるといふべきであろう。これまでの実験結果から判断すると、後者の運動であらわされるものは約 40% 程度であろう。つぎに、図-9 および 10 はそれらの掃流砂れきの跳躍高さと距離の分布特性を示したものである。ただし、理論曲線においては、 $\epsilon = 0.2$ とし、平均値に対しては実験値を用いたのは図-5 とおなじである。

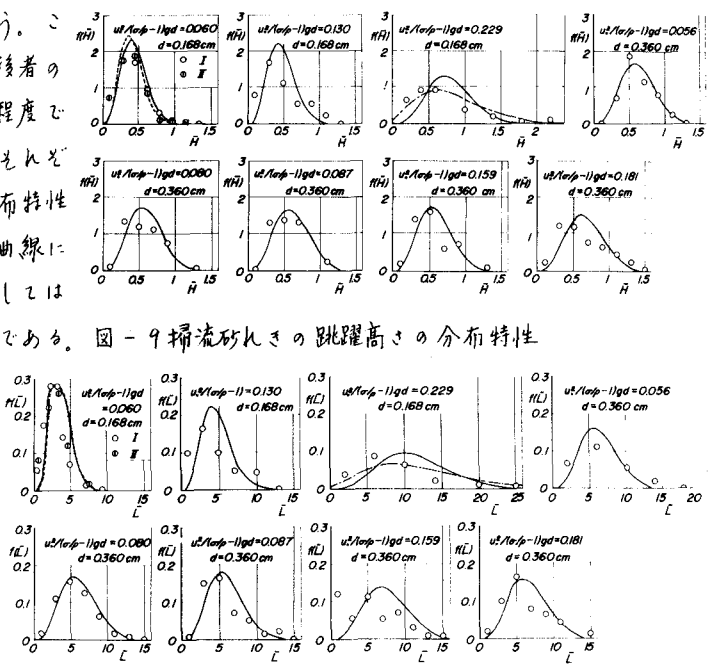


図-9 掃流砂れきの跳躍高さの分布特性

を。たとえば、図-11 は反巻における砂れきの飛び出し速度の分布を示したものであるが、これから $\lambda = 0.3$ 程度が推定されるので、反巻現象がかなり多いと考えられる $u^2/(10\rho - 1)gd = 0.229$ の場合に、この値を用いて理論曲線を示しておいた。さらに、これらの考察から $\lambda = 0.41 \pm 0.1$ で $\epsilon = 0.89$ および 0.55 のそれそれに応じて $\tan \theta \approx 26$ および 6 がえられたが、これから固定床よりも移動床の方が床面の平均的凹凸が大きいことが結論される。

7. 結語 以上、掃流砂れきの運動について、successive saltation を定義し、主としてそのstationary saltation について簡単な理論を示したが、今後さらに注意の状態における successive saltation の構造を計算するところに、これらを用いて saltation layer の流速分布や流砂量式に関する理論を試みて流砂力学の確立に努めたい。

本研究を行なうにあたりご指導いただいた矢野教授およびご協力願った道上助手に謝意を表明する。

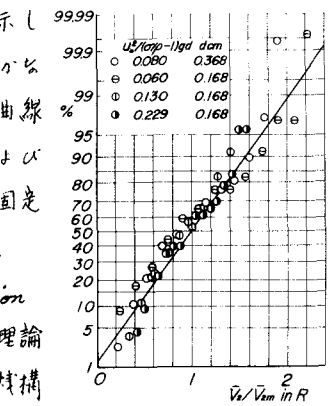


図-11 反巻時の速度ベクトルの分布特性